

پترولوزی و ژئوشیمی توده‌های نفوذی فلزیک تا مافیک منطقه صاحب – غرب ایران

ابراهیم الیاسی^۱ و مصصومه آهنگری^(۲و*)

۱. استادیار گروه زمین‌شناسی، دانشگاه آزاد اسلامی واحد ارومیه

۲. استادیار گروه زمین‌شناسی، دانشکده علوم، دانشگاه ارومیه

تاریخ دریافت: ۹۲/۲/۱۱

تاریخ پذیرش: ۹۳/۱/۲۴

چکیده

در منطقه صاحب – یاپش خان، توده‌های نفوذی متعددی با ترکیب گرانیت، تونالیت، سینودیوریت، مونزودیوریت، کوارتزدیوریت، دیوریت و به مقدار کمتر گابربرو رخنمون دارند. حجم عمدۀ توده‌های نفوذی منطقه مورد مطالعه، دارای ترکیب گرانیتی است. از نظر جایگاه زمین‌ساختی این توده‌ها در محیط جزایر قوسی (حاشیه فعال قاره‌ای) تشکیل شده‌اند. ماگمای مولد این سنگ‌ها اولیه بوده و از ذوب بخشی با درجه پایین (کمتر از ۵%) گوشه‌های متاسوماتیزه با ترکیب اسپینل- گارنت- فلوگوپیت لرزولیت منشأ گرفته‌اند. منشأ گوشه‌ای در اثر ورود سیالات ناشی از آب‌گیری رسوبات/پوسته اقیانوسی فرورونده متاسوماتیزه شده است. آلایش پوسته‌ای نیز تأثیر اندکی در تغییر ترکیب ماگمای اولیه داشته است. بررسی نمودارهای تغییرات دوتایی سنگ‌های آذرین مورد مطالعه، دو روند پترولوزنیکی (سری‌های مافیک و فلزیک) را در تکامل این سنگ‌ها نشان می‌دهد. بهنظر می‌رسد که تبلور تفریقی و جدایش برخی از کانی‌ها، به‌ویژه آمفیبول و پلاژیوکلاز عامل عمدۀ در تکوین دو روند یاد شده بوده است.

واژه‌های کلیدی: ذوب بخشی، متاسوماتیسم گوشه‌ای، جزایر قوسی، تبلور تفریقی.

مقدمه

تشکیل توالی‌های سنگ‌های آذرین با ترکیب‌های مختلف از اسیدی تا بازیک از یک ماگمای واحد یکی از موضوعات جالب و مورد بحث در پترولوزی آذرین است. یکی از نظریه‌های ارائه شده در این زمینه، نظریه تفریق ماگمایی است (Leake, 1974; Taylor, 1976; Brophy, 1991). در این نظریه ترکیب ماگماهای به دست آمده با افزایش تبلور تفریقی به سمت ماگماهای فلزیک سوق پیدا می‌کند. تبلور تفریقی ممکن است همراه با تنشیست بلوری (Shaw, 1965) یا تبلور از دیواره به سمت مرکز همراه باشد. در حالت دوم ترکیب توده‌های نفوذی از حاشیه به مرکز اسیدی تر می‌شود (Presnall and Bateman, 1973; Sawka et al., 1990). ترکیب ماگما ممکن است در حین صعود توسط آلایش با سنگ میزان و یا قطعات سقوط کرده دچار تغییر گردد (Hamilton and Myers, 1967; Barker et al., 1975).

(ذوب تفریقی) سنگ منشأ نیز می‌تواند عاملی در به وجود آمدن

ماگماهای هم‌منشأ با ترکیب متفاوت شود (Hall, 1966; Tepper

.et al., 1993

مدلهای دیگری که برای تولید سنگ‌هایی با ترکیب متغیر از منشأ واحد ارائه شده است شامل ذوب بخشی پروتولویت‌های مختلف از یک منشأ ناهمگن (Michard-Vitrac et al., 1980; Silver and Chappell, 1988) و اختلاط بین ماگماهای تولید شده از گوشه و پوسته (Gribble et al., 1990; DePaolo et al., 1992) هستند.

مقاله حاضر به بررسی خصوصیات پترولوزنیکی و ژئوشیمیایی توده‌های نفوذی منطقه صاحب، نحوه تشکیل این سنگ‌ها، ویژگی‌های سنگ منشأ و ماگمای به وجود آورنده این سنگ‌ها پرداخته است.

از منطقه مورد مطالعه این توده رسوبات کرتاسه پایینی (آپسین - آلبین، سنگ‌آهک و سنگ‌آهک‌های دولومیتی و در مواردی ماسه‌سنگ و شیل‌های فیلیش گونه به همراه سنگ‌های ولکانیکی) را بریده است و بر اساس سن سنجی‌های مختلفی که بر روی این توده صورت گرفته است، تشکیل این توده به رخداد تکتونیکی آسترین نسبت داده شده است (خلاقی خرسقی، ۱۳۷۸). رابطه بین واحدهای مختلف موجود در منطقه مورد مطالعه در شکل ۱ نشان داده شده است. با توجه به شواهد صحرایی در منطقه (بریده شدن رسوبات کرتاسه تحتانی توسط این واحد) سن کرتاسه پسین قابل قبول‌تر می‌باشد.

نفوذ توده‌های گرانیتی، گرانو‌دیوریتی و دیوریتی به درون سنگ‌آهک‌های دولومیتی پرمن واقع در اطراف روستای یاپش‌خان منجر به اسکارن‌زایی و کانه‌زایی آهن به همراه مقادیر کمی از کانه‌های مس همچون مالاکیت و آزویریت شده است.

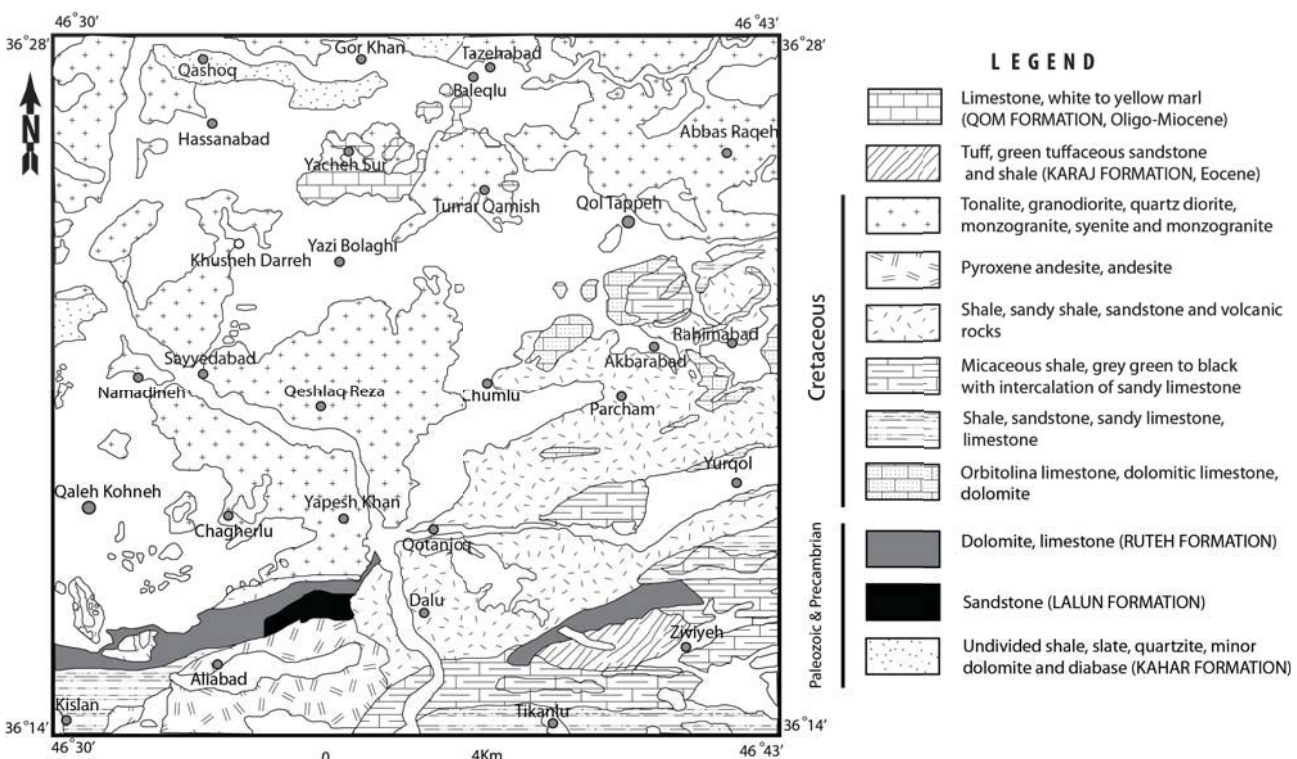
روش تجزیه

به منظور انجام مطالعات پترولوزیکی بر روی سنگ‌های نفوذی منطقه صاحب-یاپش‌خان، تعدادی از نمونه‌های گرانیت، مونزودیوریت، سینودیوریت و گابرو انتخاب و جهت تعیین فراوانی عناصر اصلی، فرعی و نادر خاکی سنگ کل توسط شرکت ACME Labs در کشور کانادا و به روش ICP-MS تجزیه شدند. نتایج حاصل از تجزیه عناصر مختلف در جداول ۱ و ۲ نشان داده شده است.

زمین‌شناسی عمومی

محدوده مورد مطالعه در جنوب‌شرقی شهرستان سقز، استان کردستان و در بین مختصات جغرافیایی $30^{\circ} 43' 46''$ تا $30^{\circ} 46' 28''$ طول شرقی و $14^{\circ} 33' 28''$ تا $14^{\circ} 36' 36''$ عرض شمالی واقع است. از نگاه ساختاری، محدوده مورد مطالعه در حاشیه شمال‌غربی زون دگرگونی سنتدج - سیرجان و در حقیقت در محل تلاقی این زون با زون‌های ساختاری خوی - مهاباد و البرز - آذربایجان واقع شده است. از این‌رو واحدهای مختلف سنگی موجود در این منطقه و مناطق مجاور در بعضی موارد خصوصیات زون سنتدج - سیرجان (سنگ‌های دگرگونی پرکامبرین در مناطق مجاور) را از خود نشان داده و در برخی موارد نیز تشابهات سنگ‌شناختی با زون البرز - آذربایجان (واحدهای کربناتی آواری پرکامبرین - کامبرین زیرین، پالئوزوئیک و مزووزوئیک) را دارند (باباخانی، ۱۳۸۲).

بخش اعظم منطقه مورد مطالعه توسط توده‌های نفوذی با ترکیب گرانیتوئیدی و در مواردی گابرو - دیوریت پوشیده شده است. این توده در نقشه $1:100,000$ در نقطه $1:250,000$ در نقشه $1:100,000$ تکاب بخشی از داده شده است. در حالیکه در نقطه $1:250,000$ آن به ترشیری و ادامه توده مذکور در نقشه مهاباد به بعد از کرتاسه (احتمالاً پالئوسن) منسوب شده است. ترکیب سنگ‌شناسی این توده از تونالیت، گرانو‌دیوریت، کوارتز‌مونزونیت، سینیت و مونزو‌گرانیت در تغییر می‌باشد. سنگ‌های بازیک با ترکیب گابرو - دیوریت نیز عمدها در حاشیه توده‌های گرانیتوئیدی تشکیل شده‌اند. در بخش‌هایی

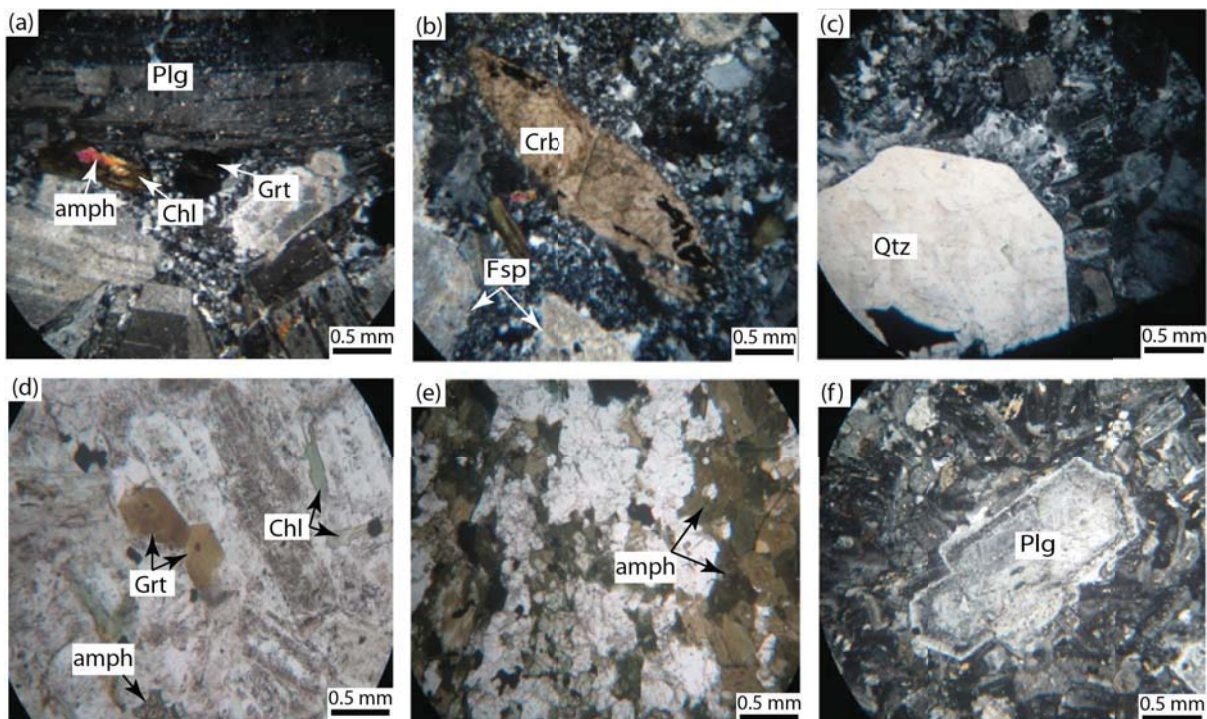


شکل ۱. نقشه زمین‌شناسی منطقه مورد مطالعه (برگرفته از خلاقی خرسقی، ۱۳۷۸).

شکل دار مشابه با بافت حاشیه های واکنشی است (شکل ۲-۲c). چنین بافت هایی در حاشیه توده نفوذی مشاهده شده و به احتمال زیاد از واکنش با سیالات موجود تشکیل شده است. گارنت و قطعاتی از کانی های کربناته نیز به صورت کانی ها و قطعات بیگانه در ترکیب برخی از نمونه ها مشاهده شده است (شکل ۲-۲b). گارنت عمده تر به صورت کانی خودشکل در خمیره ریزبلور مشاهده شده و در مواردی به کلریت دگرسان شده است. کلریت، سریسیت و اپیدوت، کانی های ثانویه بوده و حاصل دگرسانی کانی های اولیه آمفیبیول (کلریت و اپیدوت) و فلدسپار (سریسیت و در مواردی اپیدوت) هستند.

گابروها بخش کوچکی از حاشیه توده های گرانیتوئیدی را تشکیل داده اند. دایک های دیابازی نیز توده های گرانیتوئیدی را قطع نموده است. ترکیب این سنگ ها از هورنبلند گابرو تا هورنبلند بوریت در تغییر بوده و دارای بافت های میکرو گرانولار، ایتر گرانولار (شکل ۲-d) و دلریتی (شکل ۲-e) هستند. کانی های پلازیو کلاز، آلكالی فلدسپار، کوارتز، آمفیبیول، بیوتیت و کانی های کدر، کانی های تشكیل دهنده این سنگ ها می باشند. گارنت به میزان کم، قابل مشاهده است که دارای شکل بلورین منظم تا نیمه منظم اند (شکل ۲-d). پلازیو کلاز به صورت بلورهای خودشکل و

سنگ شناسی همان گونه که ذکر شد، توده های نفوذی منطقه صاحب - یاپش خان عمده تر دارای ترکیب گرانیت تا گرانو دبوریت هستند. همچنین مقادیر کمی از آلكالی گرانیت که حاوی مقدار زیادی از آلكالی فلدسپار هستند نیز شناسایی شدند. بافت غالب در اکثر نمونه های گرانیتوئیدی، پورفیروئیدی با کانی هایی با ابعاد متفاوت است (شکل ۲-a) ولی نمونه هایی با بافت گرانولار نیز مشاهده شده است. کوارتز، آلكالی فلدسپار، پلازیو کلاز، آمفیبیول (هورنبلند)، بیوتیت به عنوان کانی های اصلی و تیتانیت، آپاتیت و کانی های کدر به عنوان کانی های فرعی تشکیل دهنده سنگ های گرانیتوئیدی هستند. آلكالی فلدسپار در نمونه هایی که دارای بافت پورفیروئید می باشند، به صورت فنوکریست بی شکل تا نیمه شکل دار بوده و به طور عمده دارای منطقه بندی ترکیبی است. پلازیو کلاز نیز نیمه شکل دار تا شکل دار است. کوارتز به صورت بلورهای ریز تا متوسط در مقاطع میکروسکوپی سنگ های گرانیتی قابل مشاهده می باشد. در برخی از نمونه ها، بلورهای درشت و شکل دار کوارتز در متن سنگ قابل مشاهده است که در حاشیه این بلورها، تجمعی از کانی های مختلف (عمده تر فلدسپار و کوارتز) در اندازه های ریزتر قرار گرفته اند. بافت کانی های ریزتر در حاشیه کوارتز های



شکل ۲. تصاویر میکروسکوپی از سنگ های منطقه صاحب - یاپش خان. تصاویر a تا c از نمونه های گرانیتوئیدی و تصاویر d تا f از نمونه های بازیک می باشند. a) گارنت ریز بلور موجود در ترکیب گرانیت ها به همراه کانی های درشت بلور پلازیو کلاز، آلكالی فلدسپار و آمفیبیول که در یک زمینه ریز بلور از کانی های کوارتز و فلدسپار قرار گرفته اند. بلورهای آمفیبیول تجزیه شده اند. b) قطعاتی از کانی های بیگانه کربناتی در ترکیب سنگ های گرانیتی، c) کوارتز خودشکل که در اطراف آن حاشیه واکنشی ضعیفی از کانی های کوارتز و فلدسپار که به صورت شعاعی در اطراف درشت بلور کوارتز تشکیل شده اند (d) بلورهای گارنت قهوه ای رنگ به همراه کانی های پلازیو کلاز و آمفیبیول. کلریت های ثانویه نیز در ترکیب سنگ قابل مشاهده می باشد. e) بافت دلریتی در دایک های دیابازی. در این نمونه کانی آمفیبیول از فراوانی بیشتری برخوردار است. f) بلور پلازیو کلاز که منطقه بندی ترکیبی از خود نشان می دهد. Grt: گارنت، amph: آمفیبیول، Chl: کلریت، Qtz: پلازیو کلاز، Plg: فلدسپار. تصاویر d و f در نور PPL و بقیه تصاویر در نور XPL تهیه شده اند.

(شکل a-3). روند کاهشی مشاهده شده برای این اکسید برخلاف گابروها در نمونه‌های سینودیوریتی، مونزودیوریتی و گرانیتی تدریجی است. اکسیدهای CaO , Fe_2O_3 , TiO_2 و MnO برای نمونه‌های بازیک، روند افزایشی و برای دیگر نمونه‌ها روند کاهشی نشان می‌دهد (شکل ۳c، d، g و h). این مسئله تا حدی می‌تواند در ارتباط با تغیریق و تبلور کانی‌های پلاژیوکلاز و کانی‌های حاوی آهن و منزیم مانند الیوین، پیروکسن، تیتانومگنتیت و ایلمینیت در مسیر صعود ماگما باشد. براساس شواهد پتروگرافیکی و تجربی، کانی‌های فرومینیزین همچون الیوین و پیروکسن، اولین فازهای متبلور شده از ماگمای مافیک هستند. تبلور بخشی کانی‌های فرومینیزین، منجر به کاهش عناصری همچون MgO و FeO و افزایش عناصری چون Na_2O , K_2O و SiO_2 در ترکیب ماگما خواهد شد. همچنین با تبلور پلاژیوکلاز از ماگمای در حال تبلور، میزان عناصر CaO و Al_2O_3 در ترکیب ماگما کاهش می‌یابد. رابطه مشاهده شده برای اکسید CaO با افزایش مقدار SiO_2 برای سنگ‌های گابروبی، رابطه افزایشی و برای دیگر سنگ‌ها کاهشی است (شکل ۳g). در صورتی که رابطه مشاهده شده برای عنصر Al_2O_3 ، با افزایش مقدار SiO_2 ابتدا به صورت افزایشی بوده (از نمونه‌های گابروبی تا نمونه‌های حدواسط سینودیوریتی و مونزودیوریتی) و سپس کاهش می‌یابد (شکل ۳b). دلیل این امر را می‌توان به تبلور کانی‌های حاوی آهن و منزیم و فاقد آلومینیوم در شروع فرآیند تبلور نسبت داد. این امر باعث افزایش میزان عنصر آلومینیوم و کلسیم در ترکیب ماگمای باقیمانده می‌شود.

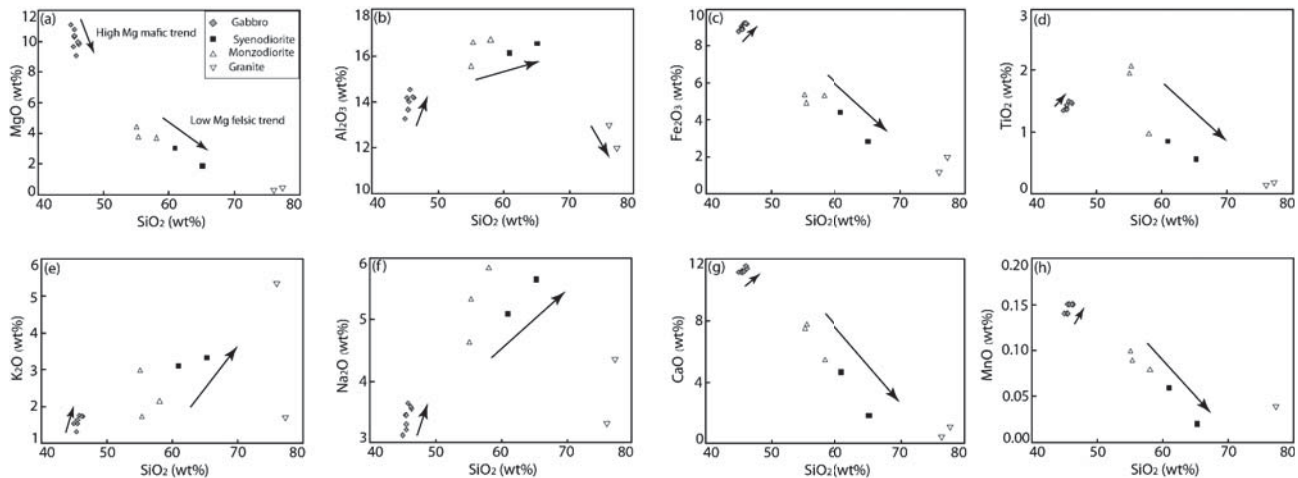
نمیه‌شکل دار بوده و دارای منطقه‌بندی ترکیبی است. قسمت‌های مرکزی آن در اثر فرآیند دگرسانی به کانی‌های رسی و در مواردی سریسیت دگرسان شده است (شکل f-2). آلكالی فلدسپار به مقدار بسیار کم در سطح سنگ پراکنده بوده و اغلب به فرم نیمه‌شکل دار ظاهر شده است. کوارتز نیز همچون آلكالی فلدسپار به مقدار بسیار کم در ترکیب سنگ‌های بازیک تشکیل شده است. این کانی به صورت پرکننده فضاهای بین‌بلوری بوده و بی‌شکل است. آمفیبول عمده‌تاً به صورت بلورهای سوزنی و کشیده ظاهر شده و از نوع هورنبلند است. تجزیه‌شدنگی به کلریت برای کانی‌های بیوتیت و آمفیبول پدیده‌ای شایع است. کانی‌های کلریت (از دگرسانی آمفیبول)، سریسیت و کانی‌های رسی (حاصل دگرسانی فلدسپار) از دگرسانی کانی‌های اولیه موجود در ترکیب سنگ‌های بازیک تشکیل شده‌اند.

ژئوشیمی سنگ کل

به دلیل تنوع در ترکیب نمونه‌ها، شیمی عناصر اصلی هر یک از سنگ‌های نفوذی موجود در این منطقه دارای تفاوت‌های اساسی با دیگر سنگ‌ها می‌باشد. به منظور بررسی شیمی عناصر اصلی، نحوه تغییر اکسیدهای اصلی در برابر SiO_2 در شکل ۳ نشان داده شده است. در نمودارهای تغییرات دوتایی، با افزایش مقدار سیلیس در سنگ‌های گابروبی، سینودیوریتی، مونزودیوریتی و گرانیتی، اکسیدها رفتارهای متفاوتی را از خود نشان می‌دهند. در MgO در تمامی نمونه‌ها با افزایش SiO_2 روند کاهشی از خود نشان می‌دهد.

جدول ۱. نتایج حاصل از تجزیه سنگ کل نمونه‌های مختلف رخمنون یافته در منطقه صاحب - یاپشخان به روش ICP-MS

	سنگ‌های بازیک								سینودیوریت		گرانیت		مونزودیوریت			
	E-1	E-2	E-3	E-4	E-5	E-6	E-7	E-8	FE	FE-3	FE-6	FE-31	FE-32	FE-35	FE-5	
SiO_2	45.25	45.41	44.89	45.40	46.21	45.49	45.67	46.07	60.81	65.18	76.06	77.29	55.02	58.06	55.31	
Al_2O_3	14.18	13.67	13.29	13.66	14.20	14.04	14.54	14.24	16.12	16.58	13.04	12.01	15.56	16.71	16.62	
Fe_2O_3	9.03	8.99	8.79	8.93	9.20	8.92	9.25	9.23	4.45	2.87	1.10	1.93	5.39	5.32	4.92	
MgO	9.67	10.30	11.09	10.79	9.83	10.39	9.08	9.94	3.09	1.86	0.13	0.41	4.45	3.69	3.77	
CaO	11.21	11.34	11.23	11.19	11.44	11.24	11.26	11.64	4.65	1.87	0.47	1.17	7.57	5.52	7.85	
Na_2O	3.46	3.22	3.12	3.45	3.55	3.30	3.65	3.58	5.11	5.65	3.34	4.34	4.65	5.85	5.34	
K_2O	1.31	1.53	1.53	1.54	1.74	1.63	1.76	1.73	3.13	3.35	5.34	1.67	3.00	2.14	1.74	
TiO_2	1.38	1.39	1.35	1.36	1.46	1.44	1.49	1.48	0.86	0.55	0.13	0.17	1.96	0.98	2.08	
P_2O_5	0.75	0.75	0.71	0.75	0.75	0.74	0.84	0.76	0.54	0.37	0.02	0.11	1.04	0.62	0.99	
MnO	0.14	0.14	0.14	0.14	0.15	0.15	0.15	0.15	0.06	0.02	<0.01	0.04	0.10	0.08	0.09	
Cr_2O_3	0.096	0.101	0.103	0.105	0.088	0.091	0.041	0.087	0.011	0.007	0.007	<0.002	0.007	0.014	0.008	
LOI	3.0	2.7	3.3	2.2	0.9	2.1	1.8	0.6	0.8	1.5	0.3	0.8	0.8	0.6	0.9	
Sum	99.54	99.57	99.55	99.56	99.56	99.55	99.54	99.57	99.61	99.78	99.93	99.97	99.55	99.55	99.59	



شکل ۳. نمودارهای تغییرات دوتایی اکسیدهای اصلی موجود در ترکیب سنگ‌های نفوذی منطقه مورد مطالعه در برابر SiO_2 دو روند پتروژنتیکی اصلی در سنگ‌های مافیک و حدواسط تا اسیدی قابل مشاهده می‌باشد. این روندها در شکل توسط پیکان نشان داده شده است.

Haschke LREE در سنگ‌ها می‌تواند در نتیجه تفریق کانی‌ها (et al., 2002) و یا منبع اولیه غنی از این عناصر باشد. الگوی مشاهده شده برای REE در نمودارهای عناصر نادر خاکی نرمالیزشده به کندریت دارای شب نسبتاً ملایمی از La تا Tb می‌باشد. سنگ‌های منطقه مورد مطالعه حاوی مقادیر نسبتاً بالایی از عناصر نادر خاکی سنگین (HREE) بوده و در الگوهای عناصر نادر خاکی نرمالیزشده به کندریت از Lu تا Dy دارای الگویی تقریباً مسطح می‌باشند (شکل ۴-۶، a, b, c). نسبت Dy/Yb برای نمونه‌های گابرویی به صورت $1/45 - 1/39$ ، برای نمونه‌های مونزودیوریتی برابر با $1/67 - 1/52$ ، برای نمونه‌های تقریباً برابر با $1/77 - 1/46$ و برای نمونه‌های گرانیتی برابر با $1/88 - 1/41$ می‌باشد. تهی شدگی و غنی شدگی معنی داری برای هیچکدام از عناصر نادر خاکی در الگوهای ترسیم شده برای این عناصر مشاهده نشده است.

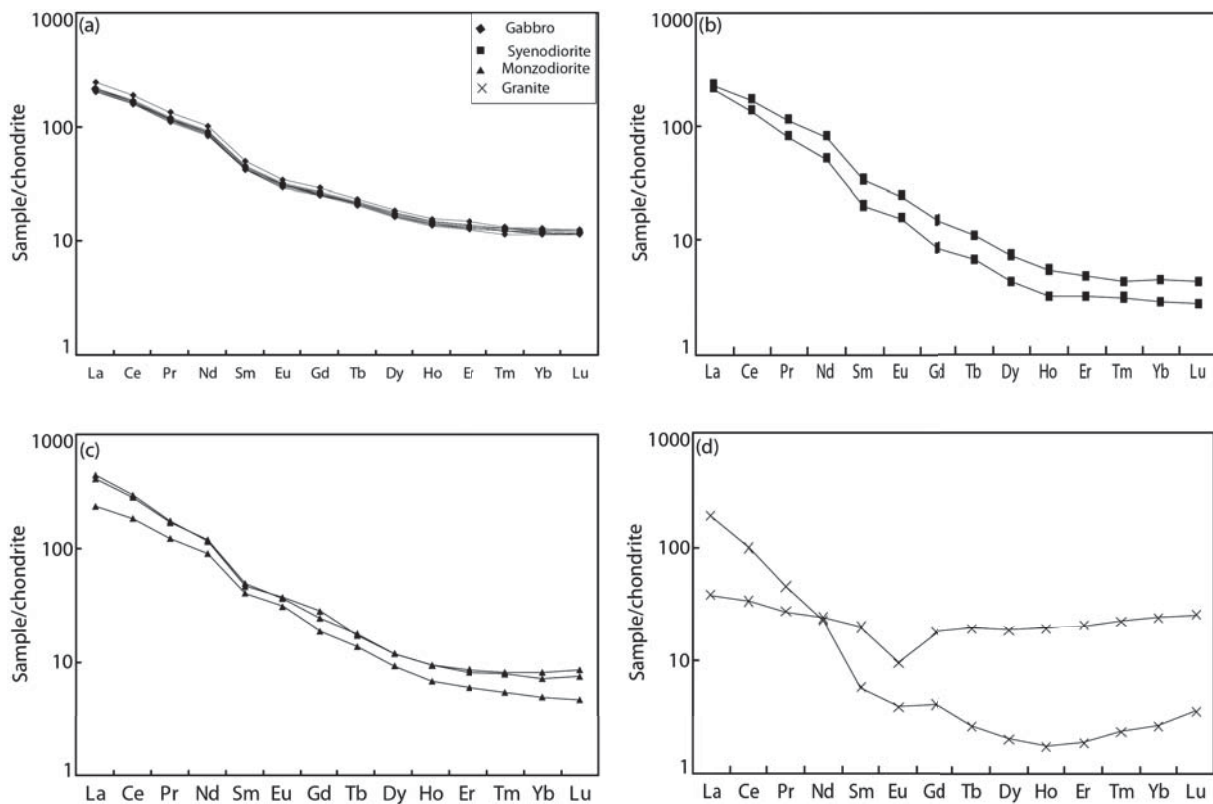
در نمودارهای چند عنصری نرمالیزه با مقادیر گوشته اولیه، عناصر براساس کاهش ناسازگاری از چپ به راست مرتب شده‌اند (شکل ۵). الگوی مشاهده شده برای این نمودارها، برای تمامی نمونه‌های مطالعه شده، کم و بیش یکسان است. تفاوت مشاهده شده در الگوهای ترسیم شده برای سنگ‌های مختلف، صرفاً مربوط به غلظت این عناصر است و فراوانی آن‌ها از سنگ‌های بازیک به سمت سنگ‌های اسیدی کاهش می‌یابد. در نمودارهای چندعنصری، عناصر Cs و Rb از میان عناصر LILE در تمامی نمونه‌ها تهی شدگی نشان می‌دهند. در برابر، عناصر Ba و Th دارای غنی شدگی هستند. عناصر Nb, Ta و Ti نیز تهی شدگی از خود نشان می‌دهند. در نمونه‌های گابرویی، Pb تهی شدگی نشان می‌دهد. این تهی شدگی در دیگر نمونه‌ها مشاهده نشده است. تهی شدگی Nb, Ta و Ti در سنگ‌های مرتبط با مناطق فرورانش حاشیه‌های فعال (قاره‌ای یا اقیانوسی) مشاهده شده است (Gill, 1981; Kelemen et al., 1993; Pearce and Peate, 1995).

میزان این عناصر در سنگ‌های حدواسط و اسیدی با توجه به تبلور کانی‌های فلدسپار و پلازیوکلаз که سرشار از عناصر آلومینیوم و کلسیم هستند کاهش می‌یابد.

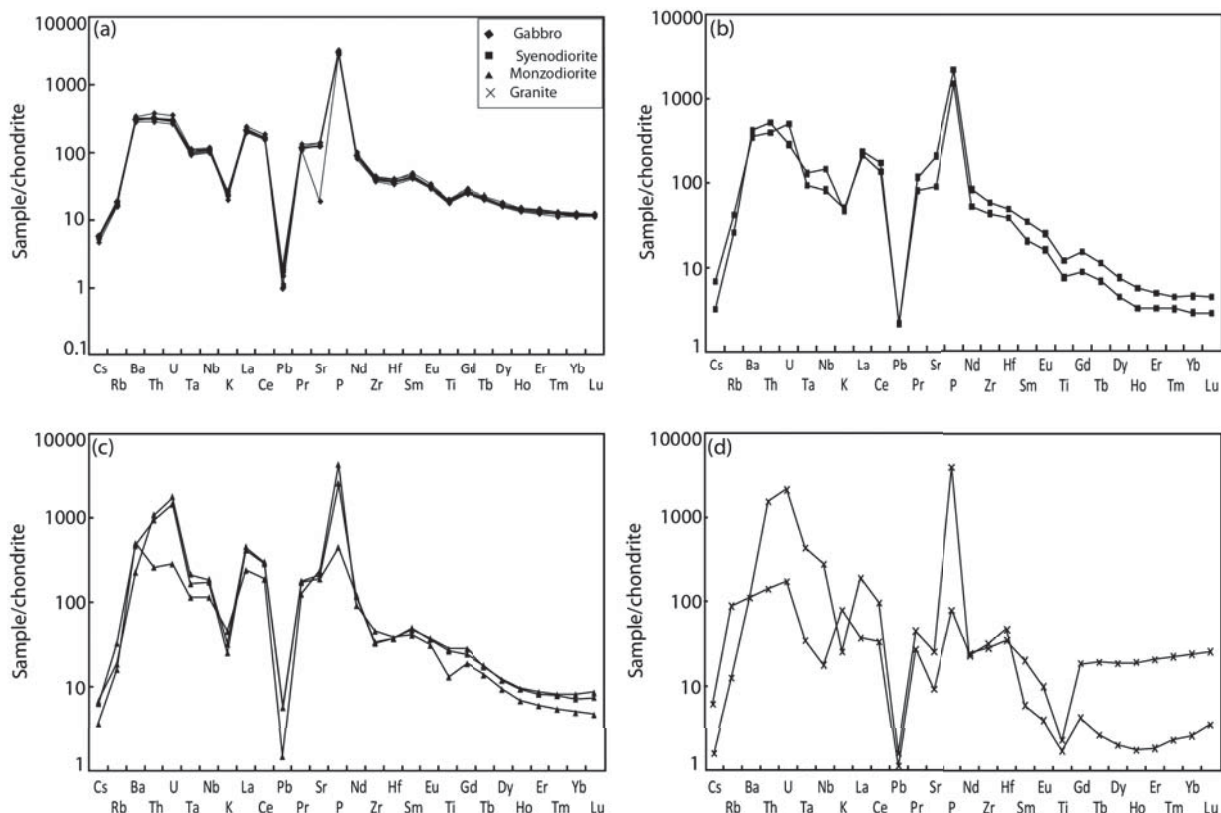
اکسیدهای Na_2O و K_2O رابطه‌ای نسبتاً پیچیده در ترکیب سنگ‌های رخنمون یافته در منطقه مورد مطالعه از خود نشان می‌دهند. مقدار این عناصر در سنگ‌های گابرویی در مقایسه با دیگر سنگ‌ها پایین بوده و با افزایش SiO_2 با روند سریعی افزایش نشان می‌دهند (شکل ۴-۶ e-f). میزان این عناصر در ترکیب دیگر سنگ‌های موجود در منطقه مورد مطالعه با افزایش SiO_2 با روند آهسته‌تری افزایش می‌یابد. این امر می‌تواند به دلیل تبلور کانی‌های حاوی عناصر سدیم و پاتاسیم همچون فلدسپارهای قلیایی در ترکیب سنگ‌های حدواسط و اسیدی منطقه مورد مطالعه باشد.

الگوهای عناصر نادر خاکی و کمیاب

الگوهای عناصر نادر خاکی نرمالیزه با مقادیر کندریت (Mc-) (Donough and Sun, 1995) (شکل ۴) برای تمامی سنگ‌های مورد مطالعه (به استثنای گرانیت‌ها) دارای روند یکسانی هستند. ولی غلظت این عناصر در سنگ‌های گابرویی، $10 - 400$ برابر کندریت، سینودیوریت‌ها، $5 - 300$ برابر کندریت و مونزودیوریت‌ها، $10 - 800$ برابر کندریت است. فراوانی عناصر نادر خاکی در سنگ‌های گرانیتی متغیر بوده و همچنین روند مشاهده شده برای نمونه‌های گرانیتی نیز متفاوت است (شکل ۴-d). علت این امر می‌تواند تأثیر فرآیندهای ثانویه بر ترکیب سنگ‌های گرانیتی باشد. سنگ‌های نفوذی در منطقه مورد مطالعه، غنی شدگی در عناصر نادر خاکی سبک (LREE) از خود نشان می‌دهند. به طوری که نسبت LaN/YbN برای سنگ‌های گابرویی از $17/26 - 19/01$ تا $52/315$ برای سینودیوریت از $47/77 - 75/56$ و برای نمونه‌های گرانیتی از $1/60 - 1/37$ تا $72/37$ در تغییر است. غنی شدگی عناصر



شکل ۴. نمودار عناصر نادر خاکی نرمالیزه با مقادیر کندریت برای سنگ‌های نفوذی رخنمون یافته در منطقه مورد مطالعه. داده‌های کندریت از McDonough and Sun (1995)



شکل ۵. نمودارهای چند عنصری نرمالیزه با مقادیر گوشه اولیه برای سنگ‌های نفوذی رخنمون یافته در منطقه مورد مطالعه.

جدول ۲. نتایج حاصل از تجزیه عناصر کمیاب موجود در ترکیب سنگ کل سنگ‌های مورد مطالعه (ppm).

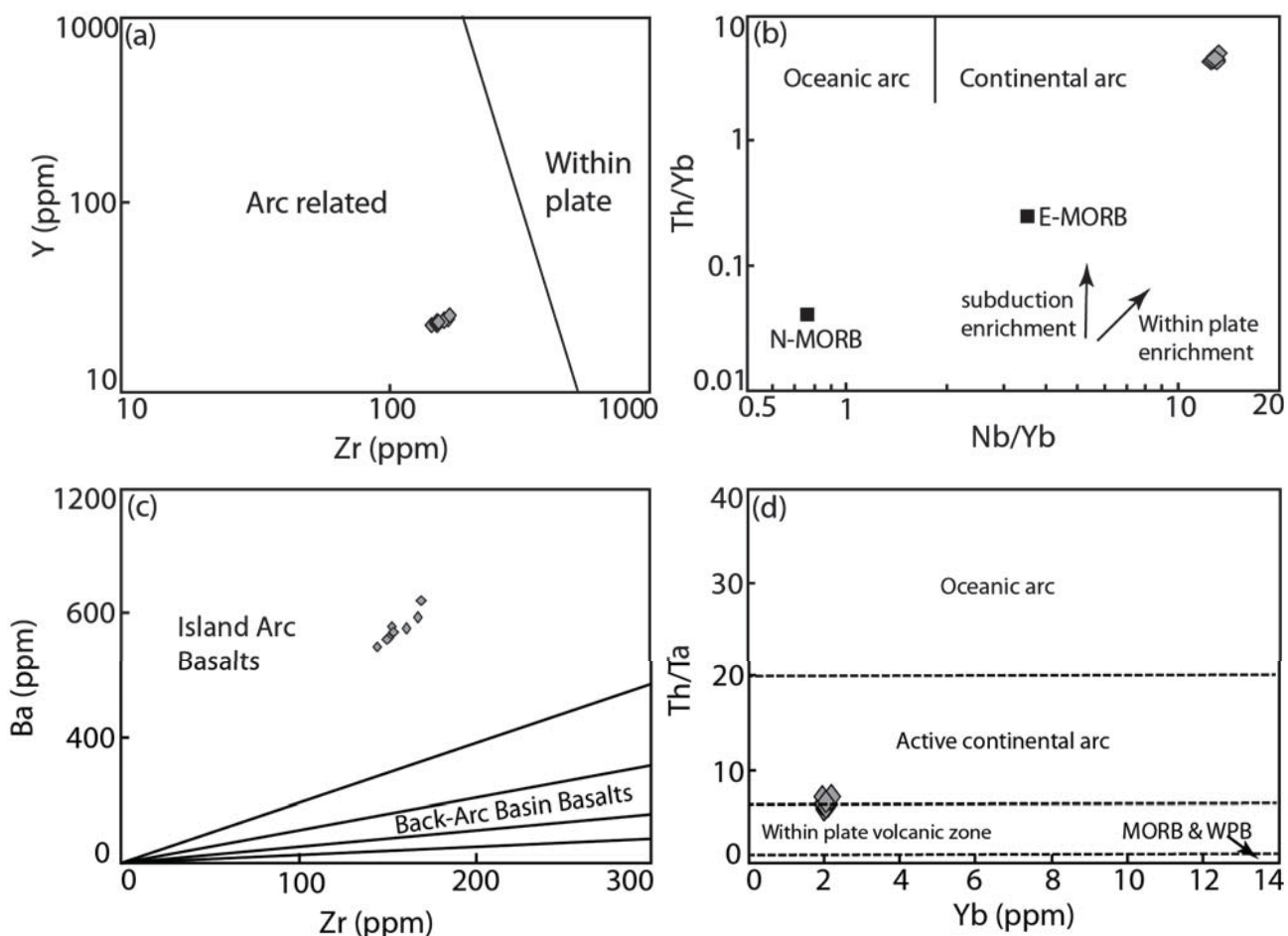
	سنگ‌های بازیک								سینودیوریت		گرانیت		مونزودیوریت		
	E-1	E-2	E-3	E-4	E-5	E-6	E-7	E-8	FE	FE-3	FE-6	FE-31	FE-32	FE-35	FE-5
Sc	24	24	24	24	24	24	23	25	7	5	2	6	11	9	10
V	206	198	189	189	203	206	215	204	81	47	15	12	130	107	129
Ni	216	235	266	250	201	211	141	199	57	25	<20	<20	88	68	83
Cu	47.0	56.6	55.4	56.1	47.8	62.1	58.1	48.1	7.0	3.1	8.2	1.5	64.3	20.5	66.4
Zn	59	58	60	57	51	63	71	47	14	22	8	22	22	15	19
Co	42.5	41.4	43.4	42.1	40.2	43.0	41.6	41.7	14.6	7.7	1.4	2.1	26.0	17.3	27.2
Ga	14.0	14.6	13.8	13.7	14.8	14.1	15.6	15.2	19.7	18.8	18.5	11.0	17.7	20.3	19.7
Cs	1.1	1.0	0.9	1.0	1.1	1.0	1.1	1.1	0.6	1.3	1.2	0.3	1.2	0.7	1.3
Rb	36.3	38.7	37.8	44.5	43.7	40.5	42.6	43.2	60.2	96.9	210.1	29.5	75.7	37.6	43.7
Sr	997.7	907.5	891.4	901.5	886.6	925.2	1029.7	899.4	1500.9	654.6	189.6	67.7	1359.0	1707.6	1552.1
Y	24.0	22.5	22.3	22.8	23.0	23.5	25.4	23.3	9.0	5.7	3.4	32.3	15.2	11.5	15.6
Zr	166.5	150.4	143.4	149.5	151.6	160.2	168.6	153.2	219.2	162.6	120.5	106.5	129.4	174.5	126.1
Nb	27.6	26.3	24.6	25.1	26.4	27.4	29.4	26.7	35.4	20.1	69.4	4.5	42.4	28.2	45.7
Sn	1	1	2	2	1	2	1	2	1	<1	<1	<1	2	1	2
Ba	785	725	693	717	757	750	844	740	1022	837	270	272	1118	1194	542
La	51.9	48.6	47.5	49.1	50.7	51.0	58.3	50.6	54.7	50.7	45.4	9.1	97.9	56.5	106.4
Ce	101.7	96.3	95.7	97.8	100.6	103.3	115.9	101.8	104.8	83.2	61.1	20.9	173.7	114.4	183.0
Pr	11.32	10.98	10.38	10.72	10.94	11.35	12.78	11.08	10.93	7.68	4.34	2.64	16.12	11.83	16.88
Nd	42.3	40.6	38.4	39.9	40.2	42.2	47.3	41.9	38.3	24.2	10.7	11.4	56.1	42.8	54.5
Sm	6.77	6.42	6.34	6.43	6.71	6.88	7.62	6.73	5.19	3.07	0.91	3.09	7.56	6.28	7.18
Eu	1.83	1.79	1.69	1.73	1.79	1.84	1.98	1.82	1.42	0.91	0.23	0.57	2.11	1.81	2.18
Gd	5.17	5.21	5.12	5.23	5.44	5.55	6.00	5.47	3.09	1.76	0.87	3.77	5.01	3.90	5.82
Tb	0.81	0.78	0.76	0.78	0.80	0.83	0.87	0.82	0.41	0.25	0.10	0.72	0.67	0.52	0.65
Dy	4.35	4.18	4.11	4.19	4.26	4.44	4.69	4.38	1.87	1.09	0.52	4.72	3.05	2.39	3.06
Ho	0.84	0.80	0.77	0.79	0.82	0.84	0.88	0.83	0.31	0.18	0.10	1.08	0.53	0.39	0.54
Er	2.26	2.14	2.09	2.13	2.21	2.26	2.46	2.24	0.79	0.53	0.31	3.40	1.35	1.00	1.45
Tm	0.33	0.31	0.29	0.31	0.33	0.33	0.34	0.32	0.11	0.08	0.06	0.57	0.20	0.14	0.21
Yb	2.10	2.00	1.93	1.94	2.05	2.12	2.20	2.04	0.75	0.48	0.45	4.09	1.22	0.85	1.40
Lu	0.31	0.29	0.29	0.30	0.30	0.31	0.32	0.30	0.11	0.07	0.09	0.65	0.19	0.12	0.22
Hf	4.1	3.6	3.5	3.6	3.8	3.8	4.1	3.7	4.9	3.9	4.9	3.6	3.8	3.9	3.9
Ta	1.5	1.5	1.3	1.3	1.5	1.4	1.6	1.4	1.8	1.3	6.2	0.5	2.3	1.6	3.0
Pb	4.4	4.2	3.7	2.5	2.7	4.7	5.1	2.4	5.2	5.4	4.0	2.8	14.0	3.7	14.3
Th	9.4	8.8	8.4	9.3	9.1	9.7	11.3	9.5	14.9	11.3	44.7	4.2	27.1	7.5	31.0
U	2.2	2.1	2.0	2.1	2.2	2.3	2.7	2.2	2.1	3.7	15.9	1.3	10.6	2.1	12.9

و نسبت‌های آن‌ها در نمودارهای متمایز کننده محیط تکتونیکی برای سنگ‌های بازیک نیز در تعیین جایگاه تکتونیکی تشکیل این سنگ‌ها استفاده شده است (شکل ۶). در نمودار Y در برابر Zr (Muller and Groves, 1991) سنگ‌های گابرویی منطقه مورد مطالعه در جایگاه‌های مربوط به قوس‌های ماقمایی قرار گرفته‌اند (شکل ۶-a). جهت تفکیک قوس‌های قاره‌ای از Pearce (1983) اقیانوسی از نمودار Nb/Yb در برابر Th/Yb (شکل ۶-b) استفاده شده است (شکل ۶-b). در این نمودار گابروهای Nb/Yb مشخص شده و در محدوده قوس‌های قاره‌ای قرار گرفته‌اند. با استفاده از نمودار Ba در برابر Zr (Floyd, 1991) ترکیب سنگ‌های گابرویی منطقه مورد مطالعه در محدوده بازالت‌های جزایر قوسی به دست آمده است (شکل ۶-c). در نمودار Th/Ta در برابر Yb ترکیب گابروهای منطقه مورد مطالعه در محدوده حواشی فعال قاره‌ای قرار گرفته است (شکل ۶-d).

خصوصیات سنگ منشأ ماقمایی به وجود آورنده سنگ‌های

جایگاه تکتونیکی تودهای نفوذی منطقه مورد مطالعه

بررسی ویژگی‌های ژئوشیمیایی تمامی سری‌های ماقمایی منطقه مورد مطالعه نشان می‌دهد که این سنگ‌ها در ارتباط با ماقماییسم مرتبط با فرورانش تشکیل شده‌اند. آنومالی منفی Nb ، Ti و Ta حدی Zr بالا بودن مقدار Al_2O_3 از جمله ویژگی‌های مشاهده شده در سنگ‌های منطقه مورد مطالعه می‌باشد که شباهت زیادی با سنگ‌های تشکیل شده در قوس‌های ماقمایی دارد (Green, 2006). در اکثر جایگاه‌های ماقمایی که در ارتباط با قوس‌های ماقمایی هستند، عمدتاً غنی‌شدگی عنصر LILE نیز قابل مشاهده می‌باشد. به طوری که این غنی‌شدگی از عناصر با شعاع یونی بزرگ را اغلب در ارتباط با پدیده فرورانش و تأثیر آن بر روی گوه گوشته فوکانی می‌دانند. گرچه در سنگ‌های منطقه مورد مطالعه، در نمودارهای چند عنصری نرماییز شده به کندریت، غنی‌شدگی و تهی‌شدگی ترجیحی عنصر LILE مشاهده می‌شود (شکل ۵). این امر به خصوصیات سنگ منشأ وابسته است. علاوه‌بر موارد ذکر شده، از میزان عناصر کمیاب



شکل ۶. نمودارهای مختلف جهت تعیین محیط تکتونیکی با استفاده از ترکیب سنگ‌های گابرویی در منطقه مورد مطالعه. a)، نمودار Y در برابر Zr نمونه‌ها در محدوده سنگ‌های وابسته به قوس واقع شده‌اند (Muller and Groves, 1991). b)، نمودار Th/Yb در برابر Nb/Yb در محدوده قوس‌های قاره‌ای قرار گرفته‌اند (Pearce, 1983). c)، نمودار Ba در برابر Zr (Floyd, 1991) نمودار ترکیب سنگ‌های گابرویی منطقه مورد مطالعه در محدوده بازالت‌های جزایر قوسی قرار گرفته است، d) نمودار Th/Ta در برابر Yb (Pearce, 1983) نمونه‌ها در محدوده قوس‌های فعال قاره‌ای واقع شده‌اند.

موردنمایه مطالعه بخصوص سنگ‌های بازیک نشان‌گر این است که میزان وقوع آلایش پوسته‌ای چندان قابل توجه نمی‌باشد. با این وجود بررسی نمودارهای الگوهای عناصر نادر خاکی و کمیاب نرمالیزه بیان‌گر این می‌باشد که ترکیب سنگ‌های اسیدی در مقایسه با دیگر سنگ‌های رخنمون یافته در منطقه بیش از بقیه سنگ‌ها دچار تغییر شده است، بهنحوی که الگوهای به دست آمده برای سنگ‌های گرانیتی از الگوی دیگر سنگ‌ها چندان تبعیت نمی‌کند (شکل ۴).

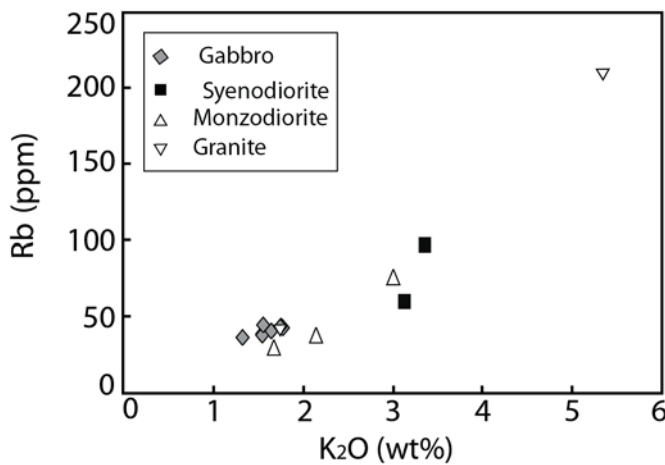
مواد پوسته‌ای از عناصر Th, Pb, K و LILE غنی بوده و از Ti و P فقیر هستند. بررسی الگوهای نرمالیزه با مقادیر گوشته اولیه حاکی از این می‌باشد که توده‌های نفوذی منطقه مورد مطالعه از عناصر Cs و Rb در مقایسه با عناصر مجاور خود تهی شدگی شدید نشان می‌دهند. همچنین تهی شدگی در عناصر Hf, Nb و Ti, Hf نیز در این نمودارها قابل مشاهده می‌باشد. و تا حدی Zr و Hf نیز در سنگ‌های گرانیتی، تهی شدگی از خود نشان می‌دهد. تهی شدگی این عنصر در گرانیت‌ها می‌تواند نشان از تأثیر آلایش فقط بر روی این سنگ‌ها باشد.

نسبت‌های Ce/Pb و Nb/U، معمولاً برای تشخیص وقوع آلایش پوسته‌ای مورد استفاده قرار می‌گیرند. زیرا پوسته قاره‌ای در مقایسه با ماقماهای مشتق شده از گوشته دارای مقادیر پایین‌تری از نسبت‌های Ce/Pb و Nb/U می‌باشند. همچنین فرآیندهایی نظیر ذوب بخشی و تبلور تفریقی، تأثیر بسیار کمی بر روی نسبت‌های مذکور دارند (Hofmann et al., 1986). گرچه در سال‌های اخیر، ایده بدون تغییر باقی ماندن نسبت‌های Ce/Pb و Nb/U از طرف برخی از پژوهشیست‌ها (Sims and DePaolo, 1997) مورد بحث و بررسی قرار گرفته است. در نمودارهای Ce/Pb در برابر Ce، نمونه‌های اسیدی پراکنده‌گی بیشتری را از ترکیب ماقماهای اولیه که گوشته مشتق شده است را نشان داده و در مجاورت ترکیب نمونه‌هایی که آلایش پوسته‌ای از خود نشان می‌دهند، قرار گرفته‌اند. در حالی که در دیگر نمونه‌ها، بهخصوص نمونه‌های بازیک، نسبت Ce/Pb مشابه با ماقماهای مشتق شده از گوشته می‌باشد (شکل a-7). نسبت Ce/Pb برای ماقماهای مشتق شده از گوشته برابر با 5 ± 25 می‌باشد (Hofmann et al., 1986). این نسبت در منطقه صاحب-یاپشخان برای سنگ‌های گابریوی برابر با $42/42 - 21/98$ ، برای سینودیوریت‌ها به صورت $15/41 - 20/15$ ، برای مونزودیوریت‌ها به صورت $7/46 - 30/92$ و برای سنگ‌های گرانیتی برابر با $12/80 - 15/28$ است. مقدار نسبت Nb در نمونه‌های مطالعه شده در مقایسه با مقدار این نسبت در ماقماهای مشتق شده از گوشته 47 ± 10 (Hofmann et al., 1986)، پایین‌تر می‌باشد. این نسبت در سنگ‌های گابریوی، سینودیوریتی، مونزودیوریتی و گرانیتی به ترتیب برابر با $12/55$ ، $10/89$ ، $10/86$ ، $5/43 - 13/43$ و $3/46 - 4/36$ است. مقدار پایین نسبت U/Nb در سنگ‌های منطقه مورد مطالعه می‌تواند نشان‌دهنده تأثیر آلایش پوسته‌ای بر روی این سنگ‌ها باشد (شکل 7b).

آذرین در منطقه مورد مطالعه مقادیر بالا و نسبتاً ثابت MgO (wt% ۰/۹-۱/۱-۵/۷-۵/۲-۱/۴-۱/۶)، Cr (ppm ۲۶۶-۳۰۰-۵/۷-۵/۲-۸) Ni (ppm ۰/۹-۱/۱-۵/۷-۵/۲-۸) در سنگ‌های بازیک نشان می‌دهد که ماقماهای به وجود آورنده سری‌های مختلف ماقماهی در منطقه مورد مطالعه از گوشته مشتق شده است (Hess, 1989). گرچه میزان عنصر Ni در ترکیب سنگ‌های منطقه مورد مطالعه، از میزان متوسط ارائه شده برای این عنصر در ترکیب ماقماهای اولیه مشتق شده از گوشته، پایین می‌باشد. پایین بودن میزان عنصر Ni می‌تواند وابسته به حضور فاز دیگری به جز الیوین در سنگ منشأ به عنوان فاز باقیمانده باشد. مقادیر بالا و نسبتاً ثابت MgO و Ni در یک محدوده نسبتاً باریک برای SiO_2 (wt% ۴۷-۴۴) در سنگ‌های بازیک نشان می‌دهد که فرآیند ذوب بخشی توسط حضور کانی الیوین در منشأ بافر شده است (Chang et al., 2009). مقادیر بالای کروم در سنگ‌های منطقه مورد مطالعه را می‌توان به غنی بودن منع از کلینوپیروکسن نسبت داد. تطابق خوب مشاهده شده بین CaO و MgO می‌تواند دلیلی بر جدایش کلینوپیروکسن در تحول ماقماهای به وجود آورنده سنگ‌های منطقه مورد مطالعه باشد.

الف) شواهد موجود برای حضور گارنت در منشأ
الگوهای عناصر نادر خاکی نرمالیزه با مقادیر کندریت حاکی از حضور میزان بالای LREE در ترکیب سنگ‌های منطقه موردنمطالعه بوده و در مقایسه با عناصر HREE غنی شدگی بالایی را نشان می‌دهند. تقریق شدید LREE در برابر HREE می‌تواند به‌واسطه حضور گارنت در ترکیب منشأ باشد (Blundy et al., 1998). نسبت La/Yb نرمالیزشده به کندریت برای سنگ‌های بازیک از $17/26$ تا $19/01$ در تغییر است. این نسبت با افزایش میزان SiO_2 در ترکیب سنگ (افزایش تفریق) افزایش یافته و به ترتیب برای سنگ‌های سینودیوریتی، مونزودیوریتی و گرانیتی برابر با $52/32 - 77/76$ ، $52/32 - 77/76$ و $47/68 - 57/56$ می‌باشد. جهت تعیین بهتر حضور و همچنین نقش گارنت در سنگ منشأ بررسی نسبت MREE/HREE مناسب‌تر می‌باشد. بدین منظور نسبت بین عناصر Dy و Yb کمک‌کننده خواهد بود. نسبت Dy/Yb برای ماقماهایی که از منشأ اسپینل لرزولیت مشتق شده‌اند کمتر از $1/06$ می‌باشد (Blundy et al., 1998). محاسبه نسبت Dy/Yb برای تمامی سری‌های ماقماهی موجود در منطقه موردنمطالعه نشان می‌دهد که این نسبت بزرگتر از $1/06$ می‌باشد. بالا بودن نسبت Dy/Yb نشان‌دهنده حضور گارنت در سنگ منشأ می‌باشد.

ب) بررسی میزان تأثیر آلایش پوسته‌ای بر روی ترکیب ماقماهای اولیه
حضور زینولیت‌های پوسته‌ای (به مقدار کم) و زینوکربست‌های کوارتر در ترکیب برخی از سنگ‌های آذرین موجود در منطقه به‌ویژه سنگ‌های اسیدی می‌تواند بیان‌گر وقوع آلایش پوسته‌ای باشد. گرچه مطالعه و بررسی ویژگی‌های ژئوشیمیایی سنگ‌های

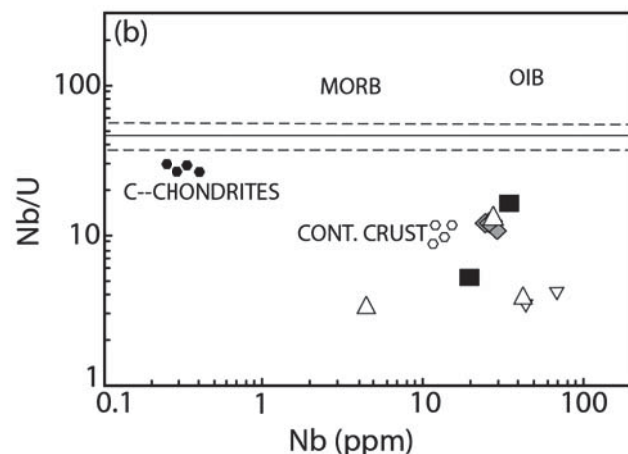
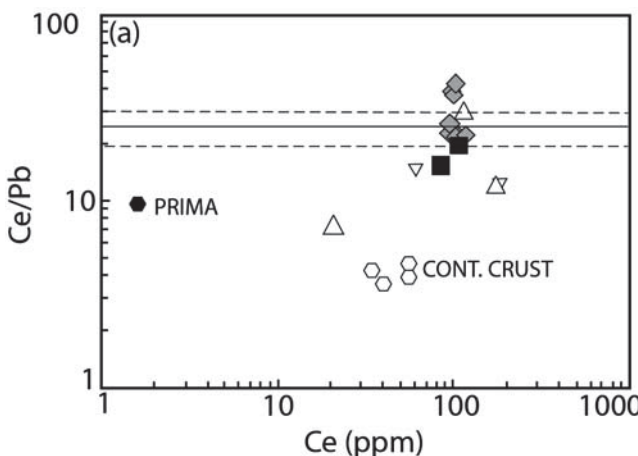


شکل ۷. a) نمودار Ce/Pb در برابر Nb/U برای توده‌های نفوذی منطقه صاحب-یاپشخان (نمودارها از Chang et al., 2009).

منطقه مورد مطالعه بهویژه سنگ‌های بازیک نشان دهنده تأثیر آنکه فرآیند آلایش پوسته‌ای بر روی ترکیب سنگ‌های منطقه مورد مطالعه به خصوص بر روی سنگ‌های اسیدی می‌باشد. از این‌رو می‌توان به این نتیجه رسید که آنمالی‌های مشاهده شده در نمودارهای چند‌عصری (شکل ۵)، مربوط به خصوصیات اولیه ماگمای اولیه است.

پ) تأثیر متاسوماتیسم بر روی سنگ منشأ
بررسی نمودارهای چند عنصری نرماییز شده به کندریت برای تمامی سری‌های ماگمایی موجود در منطقه مورد مطالعه (شکل ۵) بیان‌گر غنی شدگی در عناصر ناسازگاری همچون LILE (به استثنای Rb و Cs) و LREE، Th و U می‌باشد. همچنین نسبت

جهت تعیین رابطه بین سنگ‌های بازیک منطقه مورد مطالعه با گوشته غنی‌شده، بازالت‌های پشت‌های میان اقیانوسی، پوسته بالایی و پوسته پایینی و جزایر اقیانوسی از نسبت‌های عناصر کمیاب مختلف استفاده شده است (شکل ۸). در نمودارهای Nb در برابر Zr/Hf (شکل ۸-a)، Rb/La (شکل ۸-b)، Th در برابر Ta (شکل ۸-c)، و Nb/Ta (شکل ۸-d) و Nb/Th (شکل ۸-e) سنگ‌های بازیک منطقه مورد مطالعه بر روی ترکیب ماگماهای مشتق شده از گوشته (گوشته اولیه و OIB) قرار گرفته‌اند. ولی ترسیم نمونه‌ها بر روی نمودارهای Nb/Th در برابر Th (شکل ۸-f) و نمودار (d-۸) N در برابر (e-۸) N (La/Sm) (شکل ۸-g) بیان‌گر تأثیر پوسته فوقانی بر سنگ‌های بازیک منطقه مورد مطالعه می‌باشد.
بنابراین با توجه به ویژگی‌های ژئوشیمیایی توده‌های آذرین



شکل ۸. نمودارهای نسبت‌های عناصر کمیاب مختلف جهت تعیین رابطه بین سنگ‌های بازیک منطقه مطالعه با گوشته غنی‌شده، پوسته بالایی و پایینی، جزایر اقیانوسی و بازالت‌های پشت‌های میان اقیانوسی. (a) نمودار Zr/Hf در برابر Nb/Ta، (b) نمودار Nb/Th در برابر Rb/La، (c) نمودار Th/Yb در برابر Nb/Ta، (d) نمودار Nb/Th در برابر Th، (e) نمودار N (La/Sm) در برابر (Ta/Th) N، (f) نمودار Nb/U در برابر Nb، (g) نمودار Nb/U در برابر (Nb/Th) N. نمونه‌ها در نزدیکی OIB واقع شده‌اند، (b) نمونه‌ها در نزدیکی ترکیب C-CHONDRITES واقع شده‌اند، (d) نمونه‌ها در نزدیکی قرار گرفته‌اند، (e) نمونه‌ها در نزدیکی قرار گرفته‌اند. متوسط ترکیب بازالت‌های پشت‌های میان اقیانوسی از Sun and McDonough (1989)، پوسته از Wedepohl (1995) است، در نمودار (e) نشان‌دهنده متوسط ترکیب رسوبات مناطق فرورانشی است (Plank and Langmuir, 1992)، در این نمودار گوشته تهی شده از GLOSS نشان‌دهنده متوسط ترکیب رسوبات مناطق فرورانشی است (Taylor and McLennan, 1981)، پوسته زیرین از Weaver and Tarney (1984)، پوسته فوقانی از Taylor and McDonough (1989)، McKenzie and O'Nions (1991) و بقیه موارد از Sun and McDonough (1989).

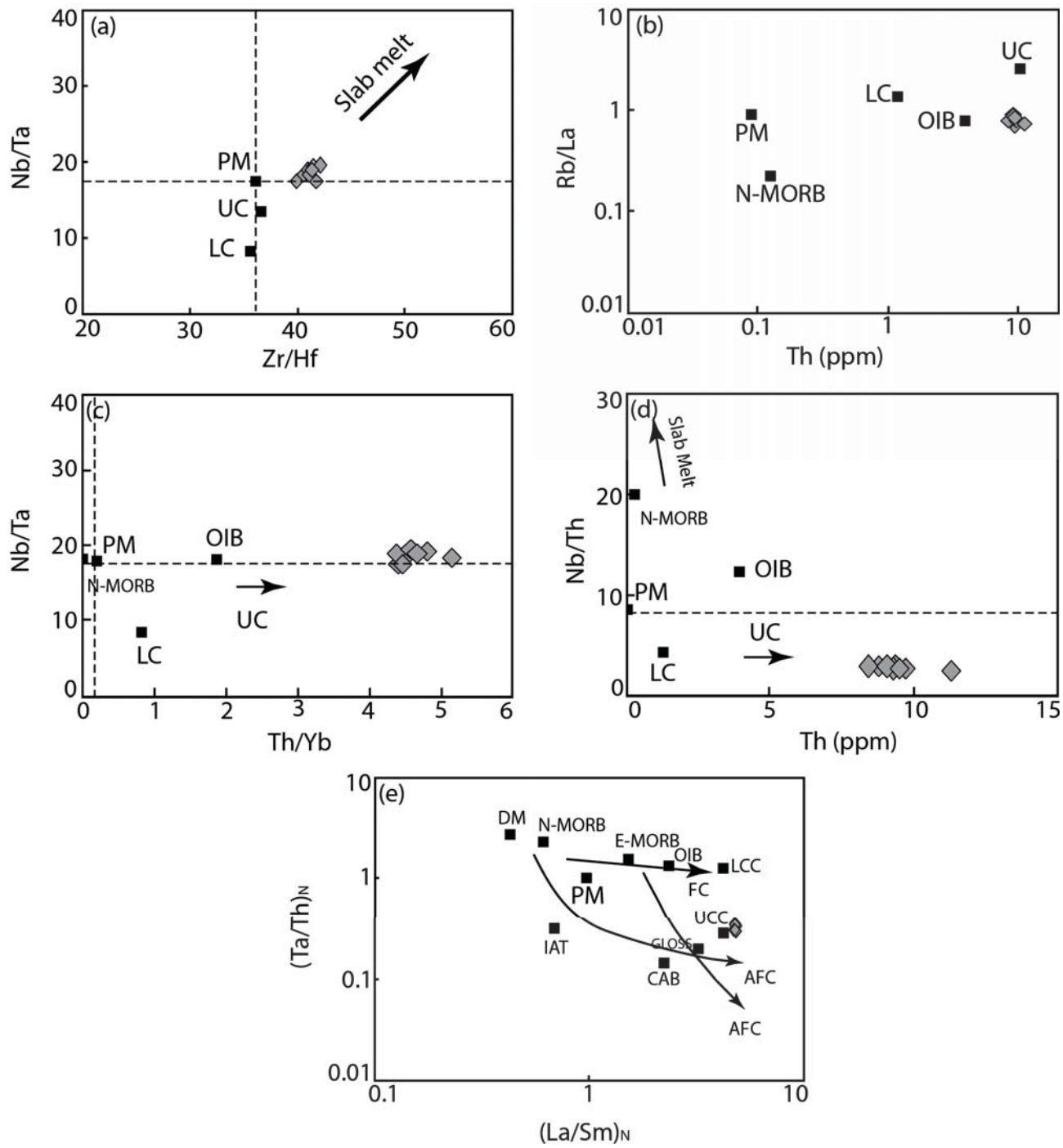
آلکالن و در مواردی آلکالن برای این سنگ‌ها می‌باشد. معمولاً فشار حاکم بر پریلودتیت‌ها در زمان ذوب بخشی، تأثیر زیادی در میزان اشباع‌شدگی ماقماهای بازالتی از سیلیس دارد (Takahashi et al., 1983; Langmuir et al., 1992; Kushiro, 2001). در عمدتاً درجات کم ذوب بخشی (کمتر از ۵% درصد وزنی) در فشارهای بالا (۳ GPa >)، منجر به ایجاد ماقماهای آلکالن با نفلین نرماتیو می‌گردد، در حالی که درجات ذوب بخشی بالاتر در اعماق کم، منجر به ایجاد ماقماهای تولیتی با هیپرستن و کوارتر نرماتیو می‌گردد (Hirose and Kushiro, 1993; DePaolo et al., 1993; Daley et al., 2000). بنابراین، بازالت‌های تولیتی در مقایسه با بازالت‌های آلکالن از ذوب بخشی پریلودتیت‌ها در درجات بالاتر ایجاد می‌گردد. به عبارت دیگر بازالت‌های آلکالن دارای میزان SiO_2 پایین‌تر و MgO بالاتر نسبت به بازالت‌های تولیتی خواهد بود. میزان SiO_2 موجود در ترکیب سنگ‌های گابرویی متنطبق موردن مطالعه پایین بوده (۴۶/۰۷% wt) و در مقابل میزان MgO موجود در ترکیب این سنگ‌ها (۹/۰۸-۱۱/۰۹% wt)، نسبتاً بالا است. ترکیب سنگ‌های بازیک و نیز ماهیت سری ماقمایی این سنگ‌ها (گابروهای آلکالن)، همگی بیان‌گر این است که ماقمایی به وجود آورنده این سنگ‌ها از ذوب بخشی درجه کم سنگ منشأ به وجود آمده‌اند. با این وجود، جهت تخمین دقیق‌تر درجه ذوب بخشی سنگ منشأ و گوشته مولد سنگ‌های ماقمایی از ویژگی‌های عنصر نادر خاکی و نسبت‌های آن‌ها استفاده شده است.

استفاده از عناصری با ناسازگاری بالا همچون La و عناصری با ناسازگاری پایین مثل Sm در سنگ‌های بازیک می‌تواند جهت بازسازی ترکیب سنگ منشأ و میزان ذوب بخشی آن مورد استفاده قرار گیرد. بدین منظور (Aldanmaz et al., 2000) از این عناصر برای تعیین ویژگی‌های منبع بهره جسته است. در شکل ۹ نمودارهای ارائه شده توسط این محققین ارائه شده است. در نمودار La/Sm در برابر La نمونه‌ها در محدوده گوشته‌غذی شده با ترکیب گارنت لرزولیت واقع شده‌اند (شکل ۹-a). در این نمودار، نرخ ذوب بخشی به دست آمده برای نمونه‌های بازیک متنطقه موردن مطالعه بسیار پایین به دست آمده است (< ۵%). در شکل ۹-b نمودار Sm/Yb در برابر Sm ارائه شده است. عنصر Yb عنصري سازگار در ساختار کانی گارنت می‌باشد. ولی در ساختمان کانی پیروکسن به صورت ناسازگار عمل می‌کند (Rolinson, 1993). از این‌رو با استفاده از مقدار این عنصر می‌توان برای ترکیب کانی‌شناسی گوشته مولد ماقمایی به وجود آورنده سنگ‌های متنطقه موردن مطالعه، بهره جست. در این نمودار، سنگ منشأ به دست آمده برای سنگ‌های بازیک متنطقه موردن مطالعه، در محدوده‌ای بین گارنت لرزولیت و گارنت-اسپینل لرزولیت واقع شده‌اند. این امر می‌تواند نشان از باقی‌ماندن گارنت در منشأ این سنگ‌ها باشد. در نمودار ارائه شده در شکل ۹-۹ از نسبت‌های Sm/Yb (عناصر نادر خاکی متوسط/عناصر نادر خاکی سنگین) و La/Sm (عناصر نادر خاکی سبک/عناصر نادر خاکی سنگین) جهت شناسایی ویژگی‌های سنگ منشأ به وجود آورنده سنگ‌های

LILEs/HFSEs در این سنگ‌ها نیز نسبتاً بالا می‌باشد. بالا بودن عناصر مذکور در ترکیب سنگ‌ها می‌تواند به آلایش پوسته‌ای و گوشته‌غذی شده توسط فرآیند متاسوماتیسم وابسته باشد. گرچه، همان‌طورکه در بخش‌های قبلی نیز بررسی شد، میزان آلایش پوسته‌ای در سنگ‌های متنطقه موردن مطالعه چندان بالا نبوده و این فرآیند تأثیر چندانی در ایجاد ناهمگنی در ترکیب گوشته نداشته است. غذی شدگی در عناصری همچون Rb و Ba و تهی شدگی در عناصر Nb، Ta و Ti از خواص ماقمایی مرتبط با فرورانش می‌باشد (Green, 2006). در منع ماقمایی که در اثر فرآیند فرورانش، متاسوماتیسم شده باشد، عمدتاً مقدار Th نسبت به Ta افزایش می‌یابد. این امر باعث افزایش نسبت Th/Ta در ترکیب ماقمایی ایجاد شده می‌گردد. این نسبت در ترکیب سنگ‌های مافیک متنطقه موردن مطالعه نسبتاً بالا بوده و از ۵/۸۷ تا ۷/۱۵ در تغییر می‌باشد که به عنوان شاخصی برای گوشته متناسوماتیزه موردن استفاده قرار گرفته و نشان از تغییر ترکیب گوشته مولد ماقمای توسط فرآیند متاسوماتیسم می‌باشد.

غذی شدگی عنصر Ba علاوه‌بر آلایش پوسته‌ای می‌تواند به عنوان شاخصی جهت شناسایی گوشته متناسوماتیزه نیز به کار رود. بنابراین استفاده از نسبت‌های Ba/Ta و Ba/Nb می‌تواند جهت تشخیص منشأ ماقمایی بازالتی کمک‌کننده باشد. مقادیر $\text{Ba}/\text{Ta} > 450$ و $\text{Ba}/\text{Nb} > 28$ از ویژگی‌های ماقمایی مرتبط با فرورانش است (Gill, 1981; Fitton et al., 1991; Hildreth and Moorbat, 1998). نسبت Ba/Nb برای سنگ‌های بازیک متنطقه موردن مطالعه برابر با ۲۷/۳۷-۲۸/۷۱ و نسبت Ba/Ta به صورت ۴۸۳/۳-۵۵۱/۵ است. مقادیر بالای نسبت‌های مذکور نشان از تأثیر سیالات حاصل از فرورانش در متناسوماتیزه نمودن گوشته مولد ماقمایی به وجود آورنده سنگ‌های آذرین در متنطقه موردن مطالعه است. مطالعات مختلف انجام شده حاکی از این است که عوامل مختلفی همچون سیالات حاصل از آبزدایی پوسته اقیانوسی فرورونده یا آبزدایی رسوبات فرورونده و یا مذاب‌های حاصل از رسوبات فرورونده و یا مذاب‌های حاصل از ذوب بازالت‌های پشتنه‌های میان اقیانوسی و یا قطعه فرورونده، در غذی شدگی گوشته بالای زون فرورانشی مؤثر است. معمولاً آبزدایی پوسته اقیانوسی فرورونده و یا رسوبات فرورونده باعث افزایش غلاظت عناصر متحرک همچون LILE و تهی شدگی عناصر غیر متحرک همچون HFSE می‌شود. بررسی الگوهای چند عنصری نرمایزه با مقادیر Zr، Hf و Ta آنومالی منفی از خود نشان می‌دهند. تهی شدگی نسبی HFSEs بیان‌گر این می‌باشد که سیالات آزاد شده از رسوبات فرورونده/پوسته اقیانوسی فرورونده تأثیر به سزایی در متناسوماتیزه نمودن گوشته مولد داشته است.

(ث) میزان ذوب بخشی سنگ منشأ
بررسی نمودارهای تعیین سری برای سنگ‌های ماقمایی متنطقه موردن مطالعه (به ویژه سنگ‌های بازیک) نشان‌گر ماهیت کالک-



شکل ۹. (a) نمودار La/Sm در برابر La, (b) نمودار Sm/Yb در برابر Sm, (c) نمودار La/Sm در برابر Yb/Sm, (d) نمودار Gd/Yb در برابر La/Yb به منظور تعیین ترکیب سنگ منشأ بخشی سنگ منشأ استفاده شده است (نمودارها برگرفته از Aldanmaz et al., 2000).

نیز جهت تعیین منشأ و نرخ ذوب بخشی سنگ‌های منطقه La/Yb مورد مطالعه استفاده شده است (شکل-۹). در این نمودار، ترکیب سنگ‌های بازیک منطقه مورد مطالعه در نزدیکی ترکیب گارنت - آمفیبول - فلوگوپیت لرزولیت واقع شده است. نرخ ذوب بخشی به دست آمده برای سنگ منشأ به وجود آورنده سنگ‌های منطقه مورد مطالعه بین ۲ تا ۵ درصد به دست آمده است.

منطقه مورد مطالعه استفاده شده است. با استفاده از این نمودار، به خوبی می‌توان ترکیب و نرخ ذوب بخشی سنگ منشأ را تعیین نمود. در این نمودار، نمونه‌های سنگ‌های بازیک منطقه مورد مطالعه در نزدیکی نمودار گارتنت - اسپینل لرزولیت ترسیم شده و نرخ ذوب بخشی پایینی را از خود نشان می‌دهند.

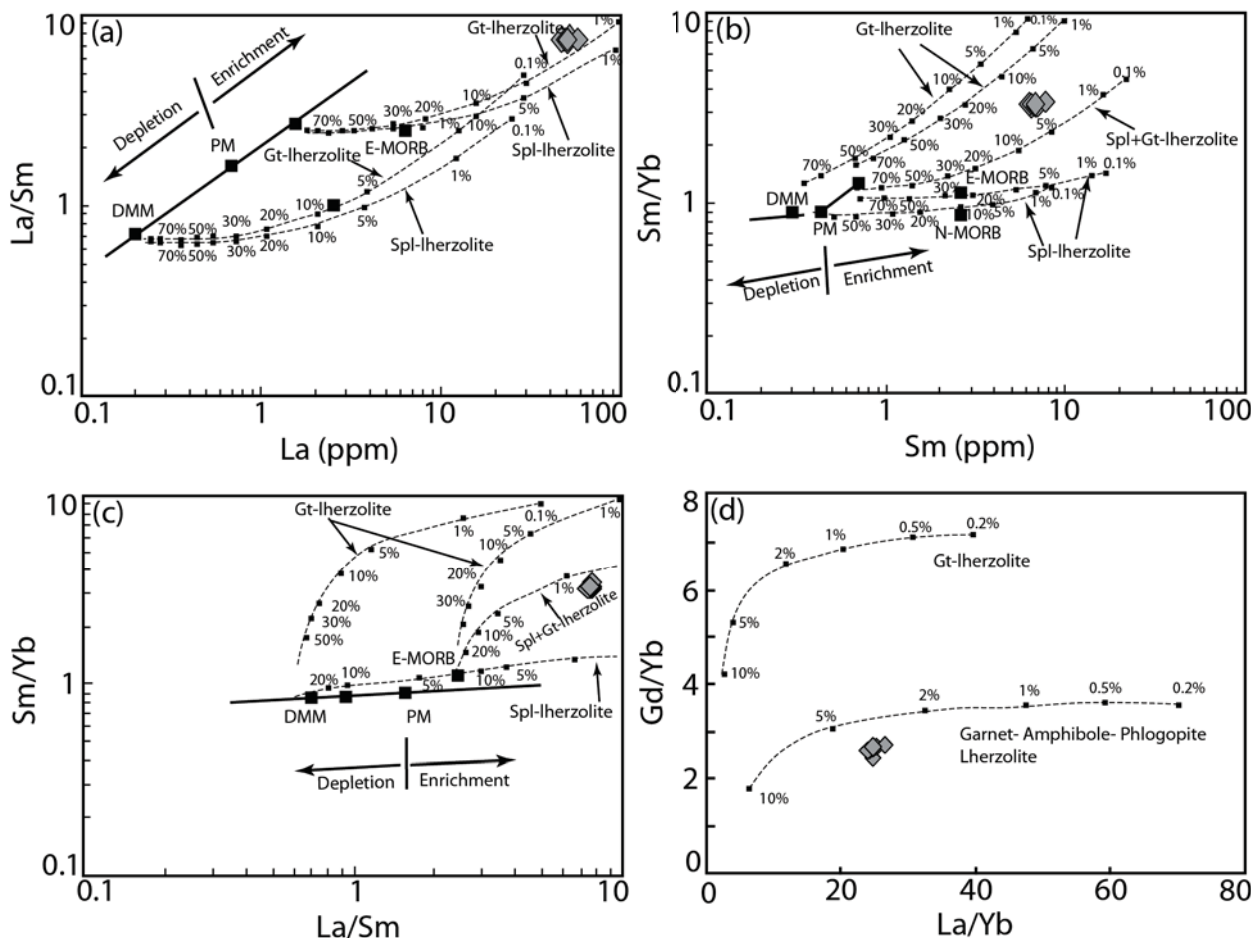
علاوه بر نمودارهای ذکر شده در بالا از نمودار Yb/Gd در پر ای

بررسی‌های انجام شده در رابطه با تأثیر آلایش پوسته‌ای بر ترکیب ماقمای بوجود آورنده سنگ‌های منطقه مورد مطالعه، نشان می‌دهد که تأثیر آلایش بر ترکیب ماقما ناچیز بوده و ماقمای بوجود آورنده سنگ‌ها، از ابتدا دارای مقادیر قابل توجهی آب در ترکیب خود بوده است.

مقایسه فراوانی عنصر Cr موجود در ترکیب سری‌های مختلف ماقمایی منطقه مورد مطالعه بیانگر تمرکز بالای این عنصر در ترکیب سنگ‌های بازیک است. Roberts et al. (2000) معتقد هستند که تمرکز بالای این عنصر در گابرپلازید می‌تواند بیانگر تشکیل این سنگ‌ها به روش کومولایی و تجمع کانی‌های مافیک باشد. اما مطالعات پتروگرافیکی این ایده را رد می‌کند (نبود تمرکز بالایی از کانی‌های مافیک در سنگ‌های گابرپلازید و حضور آمفیبیول در ترکیب تمامی سری‌های ماقمایی). در شکل ۱۰ نمودارهای Sr در برابر Rb و Ba ترسیم شده است و با ترتیب حاصل از مدل تبلور تقریقی ریلی مقایسه شده است. در این مدل، سنگ‌های مورد مطالعه تطابق بیشتری با تبلور و تقریق کانی‌های آلکالی‌فلدسبار، پلازیوکلاز و هورنبلنده نشان می‌دهند. شبیه منفی مشاهده شده در نمودار a-10 برای نمونه‌های مورد مطالعه به ویژه از سنگ‌های

تحول سنگ‌های آذرین در منطقه مورد مطالعه

بررسی ژئوشیمی عناصر اصلی و کمیاب سنگ‌های پلوتونیک مورد مطالعه در نمودارهای دوتایی حاکی از وجود دو روند پتروژنتیکی است: (۱) روند مافیک با افزایش SiO_2 ، کاهش MgO و افزایش Fe_2O_3 ، TiO_2 ، K_2O ، Na_2O ، MnO ، Al_2O_3 ، Sr ، Ba ، Nb و Th همراه است و (۲) روند فلزیک که با افزایش SiO_2 ، MgO ، Fe_2O_3 ، CaO ، MnO و Na_2O همراه است (شکل ۳). نبود ترکیبی بین سری‌های مافیک و فلزیک می‌تواند به عنوان تأییدی بر دو روند باشد. همان‌گونه که ذکر شد سنگ‌های مافیک و حدوداً در مقایسه با سنگ‌های گرانیتی حجم کمی را به خود اختصاص داده‌اند. حجم عمدۀ سنگ‌های پلوتونیک دارای ترکیب گرانیتی می‌باشند. مطالعات ژئوشیمی نشان می‌دهد که ماقمای اویله این سنگ‌ها ترکیب این سنگ‌ها بیانگر مقادیر زیادی از کانی آمفیبیول در ترکیب ماقمای اویله بوده است. اضافه شدن آب به ترکیب ماقما می‌تواند اویله باشد و یا این که در اثر فرآیندهای ثانویه‌ای همچون آلایش پوسته‌ای به ترکیب ماقما اضافه شود.



شکل ۱۰. a) نمودار Sr در برابر Rb ، b) نمودار Rb در برابر Ba . بردارهای تبلور تقریقی نشان دهنده ۳۰% تبلور تقریقی ریلی می‌باشد که با استفاده از مقادیر Kd ارائه شده توسط Rollinson (1993) برای بازالت (کانی الیوین) و داسیت و ریولیت (دیگر کانی‌ها) محاسبه شده است (OI: الیوین، Hbl: هورنبلندا، Cpx: کلینوپروکسن، PI: پلازیوکلاز، Kfs: فلدسبار پتاسیم و Bt: بیوتیت).

متاسوماتیزه می‌باشند.

قدرتانی

این مقاله برگرفته از طرح پژوهشی با عنوان "ژئوشیمی، پترولوژی و بررسی مواد معدنی گارنت، مگتیت و سیلیس در اسکارلن سفر" است که با حمایت مالی معاونت پژوهشی دانشگاه آزاد اسلامی واحد ارومیه انجام شده است. لذا بدین‌وسیله از همکاری ارزنده آن معاونت تشكیر و قدردانی می‌شود.

منابع

- باباخانی، ا.ر.، ۱۳۸۲. نقشه زمین‌شناسی ۱:۱۰۰۰۰۰ سقز. سازمان زمین‌شناسی و اکتشافات معدنی ایران.
- خلقی خسروی، م.ح.، ۱۳۷۸. نقشه زمین‌شناسی ۱:۱۰۰۰۰۰ چابان. سازمان زمین‌شناسی ایران.

- Aldanmaz, E., Pearce, J.A., Thirwali, M.F. and Mitchel, J.G., 2000. Petrogenetic evolution of late Cenozoic post-collision volcanism in western Anatolia, Turkey. *Journal of Volcanology and Geothermal Research*, 102, 67-95.

- Barker, F., Wones, D.R., Sharp, W.N. and Desborough, G.A., 1975. The Pikes Peak batholith, Colorado Front Range, and a model for the origin of the gabbro-anorthosite-syenite-potassic granite suite. *Precambrian Research*, 3, 97-160.

- Blundy, J.D., Robinson, J.A.C. and Wood, B.J., 1998. Heavy REE are compatible in clinopyroxene on the spinel Iherzolite solidus. *Earth and Planetary Sciences Letters*, 160, 493-504.

- Brophy, J.G., 1991. Composition gaps, critical crystallinity, and fractional crystallisation in orogenic (calc-alkaline) magmatic systems. *Contributions to Mineralogy and Petrology*, 109, 173-182.

- Chang, J.M., Feeley, T.C. and Deraps, M.R., 2009. Petrogenesis of basaltic volcanic rocks from the Pribilof Islands, Alaska, by melting of metasomatically enriched depleted lithosphere, crystallization differentiation, and magma mixing. *Journal of Petrology*, 50, 2249-2286.

- DePaolo, D.J. and Daley, E.E., 2000. Neodymium isotopes in basalts of the Southwest Basin and Range and lithospheric thinning during continental extension. *Chemical Geology*, 169, 157-185.

- DePaolo, D.J., Perry, F.V. and Baldridge, W.S., 1992. Crustal versus mantle sources of granitic magmas: a two-parameter model based on Nd isotopic studies. *Philosophical Transactions of the Royal Society, Edinburgh*,

حد واسط تا اسیدی، می‌تواند نشان دهنده نقش تفریق فلدسپار در تشکیل این سنگ‌ها باشد. در شکل ۱-۱۰، نقش تفریق پلاژیوکلاز کمتر مشاهده شده و نمونه‌ها تطابق زیادی با روند تفریقی مشاهده شده با کانی آلکالی‌فالدسبار از خود نشان می‌دهند. بنابراین با توجه به نتایج حاصل از داده‌های عناصر کمیاب می‌توان چنین نتیجه گرفت که تفریق آلکالی‌فالدسبار نقش اساسی در تشکیل سنگ‌های منطقه مورد مطالعه به‌ویژه برای سنگ‌های حدواسط تا اسیدی ایفا نموده است. با توجه به ویژگی‌های ژئوشیمیابی سنگ‌های آذرین رختمون یافته در منطقه مورد مطالعه، تبلور تفریقی ترقیقی مهمترین عامل به وجود آورنده سری‌های مختلف سنگی در این منطقه می‌باشد.

نتیجه‌گیری

در منطقه صاحب-یاپشخان توده‌های نفوذی متعددی حضور دارند. ترکیب این سنگ‌ها متنوع بوده و اغلب به صورت گرانیت، تونالیت، سینودیوریت، مونزودیوریت، کوارتزدیوریت، دیوریت و به مقدار بسیار کمتر گابرو می‌باشد. حجم عمدۀ توده‌های نفوذی منطقه مورد مطالعه دارای ترکیب گرانیتی می‌باشد.

بررسی نمودارهای تغییرات دوتایی سنگ‌های آذرین منطقه مورد مطالعه، نشان از وجود دو روند پتروژنتیکی (سری‌های مافیک و فلزیک) در تکامل این سنگ‌ها دارد. تبلور تفریقی و جدایش برخی از کانی‌ها، به‌ویژه آمفیبول و پلاژیوکلاز عامل عمدۀ در به وجود آمدن این روندها بوده است.

در نمودارهای چند عنصری نرمایزه با مقادیر گوشه اولیه، غنی‌شدگی عناصر LILE در مقایسه با REE و آنومالی منفی برای عناصر Ta و Nb، قابل مشاهده است. براساس الگوهای عناصر نادر خاکی نرمایزه با مقادیر کندریت، غنی‌شدگی LREE نسبت به HREE و الگوی نسبتاً مسطح HREE. بیانگر حضور گارنت در ترکیب گوشه مولد است. مطالعه بر روی خصوصیات ژئوشیمیابی سنگ‌های پلوتونیک منطقه مورد مطالعه به‌ویژه سنگ‌های بازیک نشان می‌دهد که ماقمای والد این سنگ‌ها اولیه بوده و از ذوب بخشی با درجه پایین (کمتر از ۵%) گوشه متاسوماتیزه شده منشاء گرفته‌اند. بررسی ویژگی‌های عناصر نادر خاکی نشان می‌دهد که آلایش پوسته‌ای تأثیر اندکی در تغییر ترکیب ماقمای اولیه داشته است. گوشه مولد سنگ‌های آذرین در اثر ورود سیالات ناشی از آب‌گیری رسوبات/پوسته اقیانوسی فرورونده متاسوماتیزه شده است.

الگوهای عناصر نادر خاکی نرمایزه با مقادیر کندریت و نمودارهای چند عنصری نرمایزه با مقادیر گوشه اولیه و نمودارهای تعیین محیط تکتونیکی مختلف نشان می‌دهد که این سنگ‌ها در محیط جزایر قوسی (حاشیه فعال قاره‌ای) تشکیل شده‌اند.

استفاده از نسبت‌های مختلف عناصر نادر خاکی نشان می‌دهد که ماقمای به وجود آورنده سنگ‌های آذرین در منطقه مورد مطالعه حاصل ذوب بخشی درجات ضعیف (کمتر از ۵%) گوشه

83, 439-446.

- Fitton, J.G., James, D. and Leeman, W.P., 1991. Basic magmatism associated with Late Cenozoic extension in the Western United States: Compositional variations in space and time. *Journal of Geophysical Research*, 96, 13693-13711.

- Floyd, P.A., 1991. In: *Oceanic Basalts*. Blackie and Son Limited, New York. Gass, I.G., 1981. Pan-African (upper Proterozoic) plate tectonics of the Arabian–Nubian Shield. In: KrBner, A. (Eds.), *Precambrian Plate Tectonics*. Elsevier, Amsterdam, 174-218.

- Gill, J.B., 1981. *Orogenic Andesites and Plate Tectonics*. Springer Verlag, Berlin, 390.

- Green, N.L., 2006. Influence of slab thermal structure on basalt source regions and melting conditions: REE and HFSE constraints from the Garibaldi volcanic belt, northern Cascadia subduction system. *Lithos*, 87, 23-49.

- Gribble, R.F., Barnes, C.G., Donato, M.M., Hoover, J.D. and Kistler, R.W., 1990. Geochemistry and intrusive history of the Ashland Pluton, Klamath Mountains, California and Oregon. *Journal of Petrology*, 31, 883-923.

- Hall, A., 1966. The Ardara pluton: a study of the chemistry and crystallisation of a contaminated granite intrusion. *Proceedings of the Royal Irish Academy* 65B, 203-235.

- Hamilton, W. and Myers, W.B., 1967. The nature of batholiths. US Geological Survey, Professional Paper, 554-C, 1-30.

- Haschke, M., Siebel, W., Gunther, A. and Scheuber, E., 2002. Repeated crustal thickening and recycling during the Andean orogeny in north Chile. *Journal of Geophysical Research*, 107, 2019-2027.

- Hess, P.C., 1989. *Origin of Igneous Rocks*. Harvard university press, Cambridge Massachusetts Housman, G. 336. A., McKenzie, D.P., Molnar, P., 1981. Convective instability of a thickened boundary layer and its relevance for thermal evolution of continental collision belts. *Journal of Geophysics Research*, 86, 6115-6132.

- Hildreth, W. and Moorbat, S., 1998. Crustal contributions to arc magmatism in the Andes of central Chile. *Contributions to Mineralogy and Petrology*, 98, 455-489.

- Hirose, K. and Kushiro, I., 1993. Partial melting of dry peridotites at high pressures: determinations of compositions of melts segregated from peridotite using aggregates of diamond. *Earth and Planetary Science Letters*, 114,

477-489.

- Hofmann, A.W., Jochum, K.P., Seufert, M. and White, W.M., 1986. Nb and Pb in oceanic basalts: new constraints on mantle evolution. *Earth and Planetary Science Letters*, 79, 33-45.

- Kelemen, P.B., Shimizu, N. and Dunn, T., 1993. Relative depletion of niobium in some arc magmas and the continental crust: partitioning of K, Nb, La, and Ce during melt/rock reaction in the upper mantle. *Earth and Planetary Sciences Letters*, 120, 111-134.

- Kushiro, I., 2001. Partial melting experiments on peridotite and origin of mid-ocean ridge basalts. *Annual Review of Earth and Planetary Sciences*, 29, 71-107.

- Langmuir, C.H., Klein, E.M. and Plank, T., 1992. Petrological systematics of mid-ocean ridge basalts: constraints on melt generation beneath ocean ridge. *American Geophysical Union Geophysical Monograph Series*, 71, 81-180.

- Leake, B.E., 1974. The crystallisation and emplacement of the western part of the Galway granite, Connemara, western Ireland. *Mineralogical Magazine*, 39, 498-513.

- McDonough, W.F. and Sun, S.S., 1995. The composition of the Earth. *Chemical Geology*, 120, 223-253.

- McKenzie, D. and O'Nions, R.K., 1991. Partial melt distribution from inversion of rare earth element concentrations. *Journal of Petrology*, 32, 1021-1091.

- Michard-Vitrac, A., Albar Ede, F., Dupuis, C. and Taylor, H.P., 1980. The genesis of Variscan (Hercynian) plutonic rocks: inferences from Sr, Pb, and O studies on the Maladeta Igneous Complex, Central Pyrenees (Spain). *Contributions to Mineralogy and Petrology*, 72, 57-72.

- Muller, D. and Groves, D.I., 1991. Direct and indirect associations between potassic igneous rocks, shoshonites and gold-copper deposits. *Ore Geology Reviews*, 8, 383-406.

- Pearce, J.A., 1983. Role of the subcontinental lithosphere in magma genesis at active continental margins. In: *Continental basalts and mantle xenoliths* (eds). Nantwich UK Shiva, 230-249.

- Pearce, J.W. and Peate, D.W., 1995. Tectonic implications of the composition of volcanic arc magmas. *Annual Review of Earth and Planetary Sciences*, 23, 251-285.

- Plank, T. and Langmuir, C.H., 1992. Sediments melt and basaltic crust dehydrates at subduction zones. *Eos*,

Transactions American Geophysical Union, 73, 637.

- Presnall, D.C. and Bateman, P.C., 1973. Fusion relations in the system NaAlSi₃O₈–CaAl₂Si₂O₈–KAlSi₃O₈–SiO₂–H₂O and the generation of granitic magmas in the Sierra Nevada Batholith. Geological Society of America Bulletin, 84, 3181–3202.

- Roberts, M.P., Pin, C., Clemens, J.D. and Paquette, J.L., 2000. Petrogenesis of mafic to felsic plutonic rock associations: the calc-alkaline Querigut Complex, French Pyrenees. Journal of Petrology, 41, 809–844.

- Rollinson, H., 1993. Using Geochemical Data: Evaluation, presentation, Interpretation. Longman, 384.

- Sawka, W.N., Chappell, B.W. and Kistler, R.W., 1990. Granitoid compositional zoning by side-wall boundary layer differentiation: evidence from the Palisade Crest intrusive suite, central Sierra Nevada, California. Journal of Petrology, 31, 519–553.

- Shaw, H.R., 1965. Comments on viscosity, crystal settling, and convection in granitic magmas. American Journal of Science, 263, 120–152.

- Silver, L.T. and Chappell, B.W., 1988. The Peninsular Ranges Batholith: an insight into the evolution of the Cordilleran batholiths of southwestern North America. Philosophical Transactions of the Royal Society, Edinburgh, 79, 105–121.

- Sims, K.W.W. and DePaolo, D.J., 1997. Inferences about mantle magma sources from incompatible element concentration ratios in oceanic basalts. Geochemica et Cosmochimica Acta 61, 765–784.

- Sun, S.S. and McDonough, W.F., 1989. Chemical and isotopic systematic of oceanic basalts: implications for mantle composition and processes. In: Saunders, A.D. Norry, M.J.(eds), Magmatism in the Ocean Basins. Geological Society, London, Special Publications, 142, 313–345.

- Takahashi, E. and Kushiro, I., 1983. Melting of a dry peridotite at high pressures and basalt magma genesis. American Mineralogist, 68, 859–879.

- Taylor, S.R. and McLennan, S.M., 1981. The composition and evolution of the continental crust: rare earth element evidence from sedimentary rocks. Philosophical Transactions of the Royal Society, 301, 381–399.

- Taylor, W.P., 1976. Intrusion and differentiation of granitic magma at a high level in The crust: the Puscao pluton, Lima Province, Peru. Journal of Petrology, 17, 194–218.

- Tepper, J.H., Nelson, B.K., Bergantz, G.W. and Irving, A.J., 1993. Petrology of the Chilliwack batholith, North Cascades, Washington: generation of calc-alkaline granitoids by melting of mafic lower crust with variable water fugacity. Contributions to Mineralogy and Petrology, 113, 333–351.

- Weaver, B. and Tarney, J., 1984. Empirical approach to estimating the composition of the continental crust. Nature, 310, 575–580.

- Wedepohl, K.H., 1995. The composition of the continental crust. Geochemistry Cosmochemistry Acta, 59, 1217–1232.